

# ОСОБЕННОСТИ СПЕКТРА ПОРОГОВЫХ ПОТЕНЦИАЛОВ ВЫХОДА ВТОРИЧНЫХ ЭЛЕКТРОНОВ ТИТАНАТА БАРИЯ

*Н. П. Бажанова, Е. Б. Осарков, В. В. Кораблев*

В последние годы возрос интерес к спектроскопии пороговых потенциалов с электронным возбуждением (ППЭВ) в связи с перспективой получения более простыми средствами информации о поверхности, ранее достижимой только при использовании широкого комплекса методов вторично-электронной спектроскопии. Спектроскопия пороговых потенциалов полного выхода вторичных электронов (СПППВВЭ) характеризуется максимальным отношением сигнал/шум и поэтому наиболее пригодна для неразрушающего анализа поверхности. Техническая реализация СПППВВЭ отличается простотой среди вторично-электронных способов диагностики поверхности.

Работа выполнена с целью выяснения особенностей спектра пороговых потенциалов полного выхода вторичных электронов сложного химического соединения в широком диапазоне энергий первичных электронов  $E_p = 1.1500$  эВ и специфики информации об элементном и химическом составах поверхности, получаемой с помощью СПППВВЭ.

Исследовалась полупроводящая керамика  $\text{BaTiO}_3$  с присадкой ниобия (0.3 ат%), снижающей удельное сопротивление керамики более чем на шесть порядков. Измерения выполнены в сверхвысоком вакууме  $p \approx 1.10^{-9}$  мм рт. ст. Перед измерениями образец длительно прогревался в вакууме при  $T = 700 \dots 1250$  К. Чистота поверхности контролировалась методом электронной Оже-спектроскопии (ЭОС).

Спектры пороговых потенциалов ПВВЭ:  $d\sigma/dE_p = f(E_p)$  и  $d^2\sigma/dE_p^2 = f'(E_p)$  записывались с применением электрического дифференцирования, где  $\sigma$  — коэффициент вторичной электронной эмиссии. Схема измерений, детали конструкции прибора описаны в [1]. Измерения проводились в цепи образца в условиях постоянства первичного тока. При первичных токах  $I_p \leq 10^{-7}$  А ( $j_p \leq 10^{-5}$  А/см<sup>2</sup>) высокое отношение сигнал/шум  $> 10$  в широком интервале  $E_p = 0 \dots 1.1500$  эВ обеспечивалось, в частности, увеличением амплитуды  $U_m$  дифференцирующего сигнала, подаваемого в среднюю точку катода от 0.01 В на участке задержки первичного тока до 0.5 В при  $E_p > 100$  эВ. Измерения в цепи мишени позволяют определять и контактную разность потенциалов  $V_{\text{кпп}}$  между образцом и вольфрамовым катодом пушки и отсчитывать энергию падающих электронов с точностью  $\approx 0.1$  эВ от уровня вакуума, а не только от уровня Ферми. При записи Оже-спектров для получения отношения сигнал/шум  $> 10$  первичный ток увеличивался до  $1.10^{-6}$  А, амплитуда дифференцирующего сигнала  $U_m$  до 0.5—2 В.

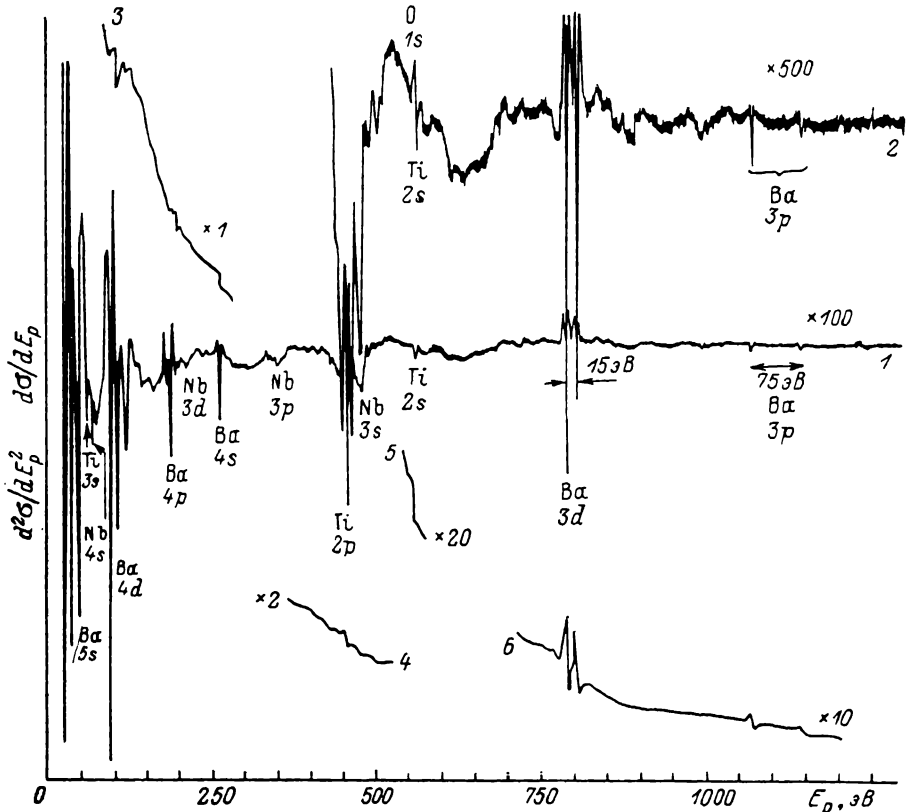
Панорама спектра пороговых потенциалов ПВВЭ  $d^2\sigma/dE_p^2 = f'(E_p)$  для  $\text{BaTiO}_3 + 0.3$  ат. % Nb представлена на рисунке. Видны группы пиков разной формы и интенсивности.<sup>1</sup> Их энергетическое положение соответствует энергиям связи остевых электронов атомов, входящих в состав соединения. Четко проявляются пики всех остевых электронов Ba и Ti. Значительно слабее выражены пики Nb, что обусловлено малой концентрацией, расположением пиков ниобия либо вблизи интенсивных остевых пиков Ba или Ti, либо перекрытием с протяженной тонкой структурой

<sup>1</sup> Вторая производная не только обостряет структуру на исходной кривой, но и обращает ее, так что минимумы  $d^2\sigma/dE_p^2$  соответствуют максимумам и перегибам на кривой  $\sigma(E_p)$ .

за ними.<sup>2</sup> Остовной пик  $1s$  кислорода в несколько раз меньше пика  $2s\text{Ti}$  с близкой энергией связи.

Интенсивность пиков ПППВВЭ для данного элемента меняется немонотонно с ростом  $H_p$ , т. е. с увеличением энергии связи электронов. Для электронов с одним и тем же главным квантовым числом  $n$  интенсивность пиков уменьшается при переходе от  $d$ -к  $s$ -электронам ( $4d\text{Ba} \rightarrow 4p\text{Ba} \rightarrow 4s\text{Ba}$ ). С увеличением главного квантового числа интенсивность пиков ПППВВЭ возрастает, сравним пики  $4d\text{Ba}$  и  $3d\text{Ba}$ ,  $4p\text{Ba}$  и  $3p\text{Ba}$ .

Самую простую форму линии ПППВВЭ в виде одиночного пика дают  $s$ -электроны. Эти пики спектра ПППВВЭ без дополнительных операций



Спектр пороговых потенциалов полного выхода вторичных электронов  $d^2\sigma/dE_p^2 = f(E_p)$  (1 и 2) и участки зависимости  $d\sigma/dE_p = f(E_p)$  для полупроводящего титаната бария (3–6).

указывают величину энергии связи остовных электронов относительно уровня вакуума  $E_p = e(V_p + V)_{\text{кпп}}$ , уровня Ферми  $E_{pF} = e(V_p + \varphi_{\text{кат}})$ ,  $E_{pF} = -E_p + e\varphi_{\text{обр}}$  и дна зоны проводимости  $E_{pc} = E_p + \chi$ , где  $V_p$  — внешняя ускоряющая разность потенциалов между образцом и катодом,  $\chi$  — сродство к электрону. В таблице приведены энергии первичных электронов относительно разных уровней отсчета, соответствующие пикам  $2s\text{Ti}$  и  $4s\text{Ba}$ . Как видно из таблицы, энергия связи  $2s$ -электронов Ti при образовании  $\text{BaTiO}_3$  не меняется, в то время как для  $4s$ -электронов Ba она увеличивается на 11.5 эВ. Сравнение энергетических интервалов между  $4s\text{Ba}$  или  $2s\text{Ti}$  и остальными пиками Ba и Ti в спектре ПППВВЭ полупроводящего  $\text{BaTiO}_3$  с аналогичными зазорами в металлах [2] позволяет оценить величину смещения отдельных уровней при образовании химического соединения. Оценка показала, что в титанате бария энергия связи остов-

<sup>2</sup> В Оже-спектре пики Nb не наблюдались.

ных электронов  $3d$ ,  $3p$ ,  $4s$ ,  $5s$  атомов Ва увеличивалась на 11.5 эВ, а в атомах Ti она не изменилась, что отражает разное изменение зарядового состояния атомов Ва и Ti при образовании  $\text{BaTiO}_3$ , т. е. вклад электронов разных атомов в формирование химической связи.

Энергии первичных электронов  $E_p$ ,  $E_{pF}$ ,  $E_{pc}$  относительно разных уровней отсчета, соответствующие  $2s\text{Ti}$  и  $4s\text{Ba}$ -пикам ПППВВЭ, для  $\text{BaTiO}_3 + 0.3$  ат.% Nb в сравнении с энергиями связи  $E_F$  электронов для этих состояний в металлах Ti и Ва

Уровень	$V_p$ , В	$V_{\text{крп}}$ , В	$E_p$ , эВ	$E_{pc}$ , эВ	$E_{pF}$ , эВ	$E_F$ [2], эВ	$E_{pc} - E_F$ , эВ
$2s\text{Ti}$	560.5	1.5	562	565	564.6	564	0.6
$4s\text{Ba}$	261	1.5	262.5	264.5	265.1	253	12.1

Примечание. Сродство к электрону титаната бария  $\chi = 2.6$  эВ, работа выхода вольфрамового катода пушки  $e_{\text{фкат}} = 4.5$  эВ.

Спектр пороговых потенциалов ПВВЭ дает информацию о спин-орбитальном расщеплении уровней в атомах твердого тела. Это отчетливо видно в сериях  $3d$  и  $3p$  Ва.

Группы пиков ПППВВЭ, соответствующие  $p$ - и  $d$ -электронам, имеют сложную структуру — число максимумов в группе почти всегда больше двух, ожидаемых согласно результатам исследования энергетического строения атомов по спектрам поглощения рентгеновских лучей.

Определение кинетических энергий электронов, формирующих структуру линии ПППВВЭ, показало, что для полупроводящего  $\text{BaTiO}_3$  при  $E_p > 200$  эВ структура связана с медленными электронами, причем основной вклад вносят электроны с  $E < 10$  эВ. Структура спектров пороговых потенциалов упругоотраженных электронов при  $E_p > 200$  эВ находится в противофазе со спектром ПППВВЭ. Спектр пороговых потенциалов ПВВЭ полупроводящего титаната бария, как и в случае металлов [3, 4], не является спектром пороговых потенциалов выхода Оже-электронов [5], т. е. глубина энергетического и элементного анализа методом СПППВВЭ больше, чем с помощью спектроскопии пороговых потенциалов упругоотраженных электронов и ЭОС.

#### Л и т е р а т у р а

- [1] Бажанова Н. П., Кораблев В. В., Кудинов Ю. А. Актуальные вопросы вторично-эмиссионной спектроскопии. Л.: Изд-во ЛПИ им. М. И. Калинина, 1986. 86 с.
- [2] Bearden J. A. Rev. Mod. Phys., 1967, vol. 39, N 1, p. 78—124; Bearden J. A., Burr A. F. Rev. Mod. Phys., 1967, vol. 39, N 1, p. 125—142.
- [3] Park R. L. Application of Surface Science, 1980, vol. 4, N 1, p. 250—262.
- [4] Boer M. L., Cohen P. J., Park R. L. Surf. Sci., 1978, vol. 70, N 2, p. 643—653.
- [5] Gerlach R. L. Surf. Sci., 1971, vol. 28, N 2, p. 648—650.

Ленинградский политехнический институт  
им. М. И. Калинина  
Ленинград

Поступило в Редакцию  
21 июля 1987 г.